

4. Гринберг Г.А. Избранные вопросы математической теории электрических и магнитных явлений. — М.; Л.: Изд-во АН СССР, 1948.

5. Астахов Ю.Н., Веников В.А., Зуев Э.Н. Повышение пропускной способности за счет рационального размещения проводов двухцепных линий электропередачи. — Изв. АН СССР. Энергетика и транспорт, 1965, № 6.

6. Мисриханов М.Ш., Попов В.Д., Якимчук Н.Н., Медов Р.В. Взаимовлияние двухцепных воздушных линий и их воздействие на режим электрических систем. — Электрические станции, 2001, № 2.

7. Евдокунин Г.А., Чуйков Ю.В., Щербачев О.В. О целесообразном расположении фаз двухцепных воздушных линий для снижения пофазной несимметрии. — Электрические станции, 1980, № 3.

[06.09.12]

*Авторы: Шишков Евгений Михайлович окончил электротехнический факультет Самарского государственного технического университета (СамГТУ) в 2011 г. по специальности «Электрические системы и сети». Аспирант, ассистент кафедры «Электрические станции» СамГТУ.*

\* \* \*

## Сопротивление заземлителя в многослойной земле с границами произвольной формы

ШИШИГИН С.Л.

*Приведены результаты расчета матрицы собственных и взаимных сопротивлений заземлителя  $\mathbf{R}$  в многослойной земле с границами произвольной формы методом зеркальных изображений и методом интегральных уравнений совместно. Влияние границ выражено в виде вносимого сопротивления, поэтому размерность матрицы  $\mathbf{R}$  в однородной и неоднородной среде не меняется. Матрица  $\mathbf{R}$  используется для расчета сопротивления эквипотенциального заземлителя и в цепной модели неэквипотенциального заземлителя как один из параметров.*

*Ключевые слова: заземлитель, многослойный грунт, вносимое сопротивление, границы слоев, расчет*

Системы заземления играют важную роль в обеспечении электробезопасности и электромагнитной совместимости в электроэнергетике, что предъявляет высокие требования к точности расчетов [1]. К настоящему времени в нашей стране и за рубежом разработаны эффективные методы расчета заземляющих устройств в различных режимах работы, а также математические модели земли. Тем не менее, давние положения [2] о том, что основная погрешность расчета заземлителей обусловлена неадекватностью математической модели земли, справедливы и поныне.

Двухслойная модель земли с удельным сопротивлением верхнего слоя  $\gamma_1$ , нижнего слоя  $\gamma_2$  и

*Ведерников Александр Сергеевич окончил электротехнический факультет СамГТУ в 2000 г. по специальности «Электрические системы и сети». Защитил кандидатскую диссертацию «Метод квадратичного кумулятивного осреднения в расчетах резкопеременных графиков электрических нагрузок» в СамГТУ в 2004 г. Заведующий кафедрой «Электрические станции» СамГТУ.*

*Гольдштейн Валерий Геннадьевич окончил электротехнический факультет Куйбышевского политехнического института в 1963 г. по специальности «Электрические станции, сети и системы». В 2004 г. защитил докторскую диссертацию «Электромагнитная совместимость систем электроснабжения нефтяной промышленности при внешних и внутренних импульсных электромагнитных воздействиях» в СамГТУ. Профессор кафедры «Автоматизированные электроэнергетические системы» СамГТУ.*

*Results from calculating the matrix of self and mutual resistances  $\mathbf{R}$  of a grounding electrode placed in multilayer soil with arbitrarily shaped boundaries through a simultaneous use of the mirror image method and the method of integral equations are presented. The influence of boundaries is expressed in terms of introduced resistance; therefore, the dimension of matrix  $\mathbf{R}$  remains unchanged in uniform and nonuniform medium. The matrix  $\mathbf{R}$  is used for calculating the resistance of an equipotential grounding electrode and in the chain model of a nonequipotential grounding electrode as one of its parameters.*

*Key words: grounding electrode, multilayer soil, introduced resistance, layer boundaries, calculation*

мощностью (толщиной) верхнего слоя  $h$ , введенная в практику проектирования еще в прошлом веке [2], фактически остается стандартом сегодняшнего дня. Существует два основных подхода к расчету заземлителей в двухслойной земле: на основе решения уравнения Лапласа для потенциала точечного источника с последующим интегрированием по длине стержня [2] и методом зеркальных изображений (МЗИ), который сразу оперирует со стержнями, поэтому более эффективен [3, 4]. В этом случае стержень отражается одновременно от двух границ, что приводит к бесконечному числу источников и бесконечным рядам при расчете электрического поля в однородной среде. Ограничение членов

ряда достигается математическими методами ускорения сходимости. Векторная форма записи расчетных выражений делает их компактными и адаптированными к возможностям современных компьютеров.

С возрастанием требований к точности расчетов двухслойная модель земли все менее соответствует потребностям практики. При экспериментальном определении структуры земли методом вертикального электрического зондирования (ВЭЗ) число слоев обычно превышает два [5]. Следует добавить также слой сезонных изменений и насыпного грунта. Рекомендуются в [1] методы приведения многослойной земли к эквивалентной двухслойной на стадии интерпретации данных ВЭЗ или приближенных аналитических расчетов [5] сопряжены с дополнительной погрешностью. Замена нескольких слоев земли одним может быть точна лишь в двух частных случаях, когда проводимость подстилающего слоя существенно меньше или существенно больше остальных слоев [6]. Таким образом, переход к многослойным моделям, повышающим достоверность расчета заземлителей, — требование практики, подкрепленное в настоящее время необходимыми вычислительными ресурсами.

В основу методики расчета заземлителей в многослойном грунте положена задача об электрическом поле точечного источника, описываемого уравнением Лапласа. При расположении источника и расчетной точки в  $k$ -м слое потенциал равен [2]:

$$j(z, r) = j_0 + \int_0^\infty J_0(lr) (a_k e^{lz} + b_k e^{-lz}) dl, \quad (1)$$

где  $z, r$  — координаты цилиндрической системы с центром в источнике;  $j_0$  — потенциал точечного источника в однородной среде;  $a_k, b_k$  — коэффициенты, подлежащие определению для каждого слоя с учетом граничных условий.

Возможно лишь численное решение задачи. Более того, к численному интегрированию приходится прибегать повторно для расчета потенциала стержня, что приводит к громоздким выражениям, примеры которых для трех- и пятислойной земли приведены в [7]. Таким образом, расчет электрического поля стержня в многослойной земле на основе решения уравнения Лапласа — весьма трудоемкая процедура.

Заманчивая идея моделирования многослойной земли с помощью зеркальных изображений, число которых равняется числу слоев, реализована в методе комплексных изображений (complex image method) [8]. Подынтегральная функция (1) здесь аппроксимируется по методу Прони — в виде суммы экспонент, число которых равняется числу сло-

ев и каждой из которых соответствует точечный источник, в общем случае комплексный и с комплексной координатой. Но для каждого уровня глубины погружения источника коэффициенты аппроксимации разные, поэтому расчет вертикальных (особенно глубинных) заземлителей весьма трудоемкий. Исследования метода, выполненные К.Н. Зубовым, также выявили недостаточную точность — не менее 10–15% при решении тестовых задач. В итоге данный метод представляет скорее теоретический интерес.

Расчеты электрических полей точечных источников в многослойных средах типичны для задач электроразведки, в частности для интерпретации данных ВЭЗ [6]. Коэффициенты в (1), которые в рассмотренных ранее методах рассчитывались численно или приближенно, представлены в виде рекуррентной функции (формула Пекериса):

$$R_i(m) = \frac{R_{i+1}(m) + \text{th}(mh_i) \times r_i / r_{i+1}}{r_i / r_{i+1} + R_{i+1}(m) \text{th}(mh_i)}, \quad R_n(m) = 1,$$

где  $i=1, \dots, n$  — номер слоя;  $m$  — аналог  $l$  в (1).

Тогда потенциал на поверхности земли и кажущееся удельное сопротивление равны:

$$j(r) = \frac{r_1 I \epsilon_1}{2\rho \epsilon_1 r} + \int_0^\infty (R_1(m) - 1) J_0(mr) dm$$

$$r_k(r) = r_1 \epsilon_1 \int_0^\infty (1 + r^2) (R_1(m) - 1) J_1(mr) dm$$

где  $J_0, J_1$  — функции Бесселя.

Подынтегральные выражения (с увеличением  $m$ ) становятся осциллирующими, поэтому для вычисления подобных интегралов используются специальные квадратурные формулы. Расчеты усложняются при произвольном расположении источников и расчетных точек, поэтому эффективность методов электроразведки для расчета заземлителей неочевидна.

Расчеты заземлителей в многослойных средах проводятся методом оптической аналогии (МОА) — разновидности МЗИ [2]. Точечный источник тока уподобляется источнику света, который отражается и преломляется в системе полупрозрачных зеркал, расположенных на границе слоев. Этот процесс описывается двумя рекуррентными формулами для лучей (бликов), направленных вверх и вниз. В расчете учитываются только блики, видимые наблюдателем, т.е. распространяющиеся в слое с расчетной точкой. Чтобы не «промахнуться», переходят к целочисленной толщине слоев. Источник должен находиться на границе слоев, иначе вводится фиктивная граница. В варианте метода [9] это ограничение снято — роль точечного

источника выполняют два его первых блика, что уменьшает число шагов рекуррентных формул, но удваивает процесс поиска зеркальных источников и требует дополнительного суммирования его результатов. В отличие от двухслойного грунта рекуррентные формулы нельзя априорно представить в виде ряда с последующим применением методов ускорения сходимости, что приводит к большому числу бликов, особенно в грунте со скальным основанием, где отражения происходят почти без затухания. Но, будучи разновидностью МЗИ, он позволяет сразу оперировать стержнями вместо заимствованной из электроразведки и закрепленной в [2] более затратной методики расчета потенциала точечного источника с последующим интегрированием полученного решения по длине стержня. Таким образом, МОА – наиболее эффективное средство расчета заземлителей в многослойных горизонтально и вертикально слоистых средах. Далее МОА включаем в рамки МЗИ.

Рассмотренные модели исключают такие существенные факторы, как слои с наклонными горизонтами, негоризонтальность поверхности земли, локальные неоднородности, трещины в горных породах и т.д. Практика расчетов заземлителей в подобных средах фактически отсутствует, но потребность уже установлена руководящими документами [1].

Аналогичные задачи электростатики и электроразведки постоянным током в кусочно-неоднородных средах решаются методом интегральных уравнений (МИУ) [6, 10, 11]. Этот метод применим и для расчета эквипотенциального заземлителя, но крайне неэффективен для реального, неэквипотенциального заземлителя (на высоких частотах, при импульсных воздействиях) с его сложной математической моделью [3] из-за существенного увеличения числа элементов при дискретизации границ раздела сред. Требуется модификация МИУ, чтобы размерность матрицы сопротивлений в однородной и неоднородной среде оставалась неизменной независимо от числа элементов границ раздела сред аналогично МЗИ.

Сопротивление заземлителя в МЗИ может быть представлено как сумма собственного сопротивления и дополнительного сопротивления, вносимого зеркальными источниками  $R_1 = R_0 + DR_1$ . Эту идею об учете влияния вторичных источников на границе раздела сред в виде вносимых сопротивлений реализуем и в МИУ, что позволит применить его совместно с МЗИ. Тогда сопротивление заземлителя в неоднородной земле

$$R_2 = R_1 + DR_2 = R_0 + DR_1 + DR_2,$$

где  $R_0$  – сопротивление заземлителя в однородной среде;  $R_1$  – сопротивление заземлителя в многослойной горизонтально-слоистой земле (существующий уровень);  $DR_1$  – вносимое сопротивление от горизонтальных границ (рассчитывается МЗИ);  $DR_2$  – вносимое сопротивление от границ раздела сред произвольной формы (будет найдено МИУ).

Сущность  $DR_1$  и  $DR_2$  одинакова: они обусловлены токами, наведенными на границах раздела сред электрическим полем заземлителя вследствие различных удельных сопротивлений сред.

В статье приведены вывод формулы вносимого сопротивления заземлителя от границ раздела сред произвольной формы на основе МИУ, результаты тестирования формулы на модельных задачах, а также результаты апробации методики совместного применения МИУ и МЗИ.

**Вносимое сопротивление заземлителя на основе МИУ.** Пусть заземлитель с током  $I_1$  (первичный ток в терминах МИУ) расположен в однородной среде с удельным сопротивлением  $\gamma_1$  при наличии локальных неоднородностей с удельными сопротивлениями  $\gamma_2, \gamma_3, \dots, \gamma_n$ , ограниченных произвольной поверхностью  $S$  (рис. 1). Неоднородная среда приводится к однородной (рис. 1,б) из условия неизменности потенциала и напряженности электрического поля [9]. Для этого по аналогии с электростатикой на поверхности  $S$  вводятся наведенные (вторичные) токи  $I_2$  с поверхностной плотностью  $J$ , удовлетворяющие интегральному уравнению

$$\frac{J(P)}{2} - k \oint_S J(Q) \frac{dG(P,Q)}{dn} dS_Q = 0, \quad (2)$$

где  $G(P,Q)$  – ядро интегрального уравнения, имеющее смысл потенциала в точке  $P$  от единичного точечного источника в точке  $Q$  (взаимного сопротивления при  $\gamma_1 = 1$ );  $dG(P,Q)/dn$  – производная ядра в направлении нормали к границе в точке  $P$ , имеющая смысл напряженности;  $J$  – плотность стекающего тока;  $k$  – коэффициент отражения (в частности на границе со второй областью  $k = (\gamma_2 - \gamma_1) / (\gamma_1 + \gamma_2)$ ).

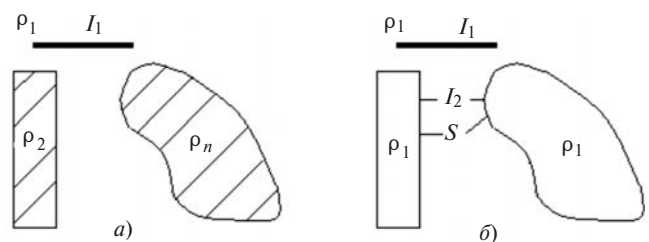


Рис. 1. Приведение кусочно-неоднородной среды к однородной среде

Разобьем заземлитель на  $M$  линейных элементов длиной  $l_i$ , током  $I_i$  с плотностью  $J_i - I_i / l_i = \text{const}$ , где  $i = 1, \dots, M$ , а поверхность  $S$  – на  $N$  элементов прямоугольной формы площадью  $S_j$ , током  $I_j$  с плотностью  $J_j = I_j / S_j = \text{const}$ , где  $j = M+1, \dots, M+N$ .

Тогда для  $p$ -го элемента поверхности  $S$  интегральное уравнение заменяется алгебраическим:

$$\sum_{i=1}^M \frac{dR_{pi}}{dn} I_i + \sum_{j=M+1}^{M+N} \frac{dR_{pj}}{dn} I_j - \frac{I_p}{2kS_p} = 0,$$

$$M < p \leq M + N, \quad k \neq 0,$$

где  $R_{pi}, R_{pj}$  – взаимные сопротивления между элементами при  $r_1 = 1$ .

Это же уравнение в матричной форме:

$$\mathbf{D}_{12} \mathbf{I}_1 + \mathbf{D}_{22} \mathbf{I}_2 = 0,$$

где индекс «1» относится к заземлителю, индекс «2» к поверхности  $S$ .

Отсюда получим связь между вторичными и первичными токами:

$$\mathbf{I}_2 = -\mathbf{D}_{22}^{-1} \mathbf{D}_{12} \mathbf{I}_1.$$

Потенциал элементов заземлителя с учетом вторичных токов равен:

$$\mathbf{j}_1 = \mathbf{R}_{11} \mathbf{I}_1 + \mathbf{R}_{12} \mathbf{I}_2 = (\mathbf{R}_{11} - \mathbf{R}_{12} \mathbf{D}_{22}^{-1} \mathbf{D}_{12}) \mathbf{I}_1 =$$

$$= (\mathbf{R}_{11} + \mathbf{DR}) \mathbf{I}_1,$$

где  $\mathbf{R}_{11}$  – матрица сопротивлений заземлителя;  $\mathbf{R}_{12}$  – матрица взаимных сопротивлений заземлителя и поверхности  $S$ ;

$$\mathbf{DR} = -\mathbf{R}_{12} \mathbf{D}_{22}^{-1} \mathbf{D}_{12} \quad (3)$$

– матрица вносимого сопротивления заземлителя.

Таким образом, вносимое сопротивление заземлителя, обусловленное наведенными (вторичными) токами на границах раздела сред произвольной формы, определено матричным выражением (3). Методику его применения изучим на тестовой задаче с известным аналитическим решением.

Найдем вносимое сопротивление точечного заземлителя, расположенного на расстоянии  $t$  от плоской границы раздела сред (рис. 2). Точное решение, полученное МЗИ, известно:

$$\mathbf{DR} = \frac{r_1 k}{4p2t}; \quad k = \frac{r_2 - r_1}{r_2 + r_1}.$$

Зададим на плоскости сетку с квадратными ячейками со стороной  $a$  и в центре каждой ячейки введем точечный источник вторичного тока. Для единственного элемента заземлителя в формуле (3)

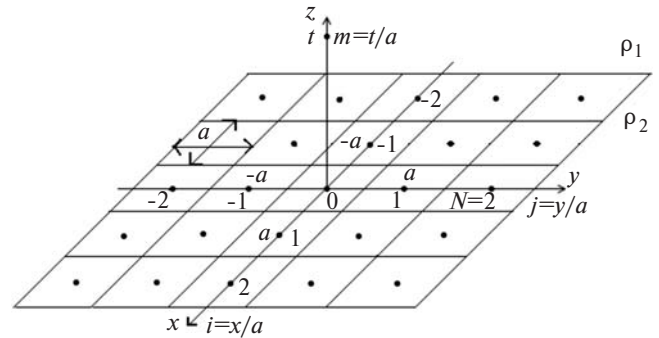


Рис. 2. Точечный заземлитель над плоской границей раздела сред

$\mathbf{R}_{12}$  будет вектор-строка,  $\mathbf{D}_{21}$  – вектор-столбец,  $\mathbf{D}_{22}$  – диагональная матрица, поэтому матричные операции в (3) заменяются скалярными, что можно показать на примере:

$$\begin{pmatrix} a_0 & 0 & 0 \\ a_1 & b_1 & 0 \\ a_2 & 0 & b_2 \end{pmatrix} \begin{pmatrix} c_0 \\ c_1 \\ c_2 \end{pmatrix} = \begin{pmatrix} 1 \\ 0 \\ 0 \end{pmatrix} \begin{pmatrix} a_n c_n \\ b_n \end{pmatrix}.$$

Тогда вносимое сопротивление (3) получается суммированием влияний каждой ячейки:

$$\mathbf{DR} = \sum_{i=-N}^N \sum_{j=-N}^N \frac{R_{12}(i,j) D_{21}(i,j)}{D_{22}(i,j)} =$$

$$= \frac{r_1 k}{4pa} \sum_{i=-N}^N \sum_{j=-N}^N \frac{1}{2p(i^2 + j^2 + m^2)^2},$$

где

$$R_{12}(i,j) = \frac{r_1 k}{4pa} \frac{1}{\sqrt{i^2 + j^2 + m^2}};$$

$$D_{21}(i,j) = \frac{1}{4pa^2} \frac{m}{(i^2 + j^2 + m^2)^{3/2}};$$

$D_{22}(i,j) = -1/2ka^2$ ;  $i = x/a$ ;  $j = y/a$  – координаты центра ячейки с вторичным током;  $m = t/a$  – координата точечного заземлителя;  $N$  – номер крайней ячейки (рис. 2).

Сопоставление этого выражения с точным решением при вариации размера и числа ячеек показало, что оптимальный размер ячейки близок к расстоянию до заземлителя  $a = t$ . В этом случае погрешность не превышает 3% уже при 49 элементах дробления.

Таким образом, решение получено при ограниченном числе ячеек сетки, что связано с очень быстрым ( $1/r^4$ ) затуханием влияния вторичных токов с увеличением расстояния между ними  $r$  и точкой наблюдения. Отсюда влияние ближайших ячеек следует вычислять наиболее точно, что достигается фокусировкой сетки из условия  $a = t$ , а также повышением точности интегрирования. Для этого ячейки

ки с вторичными токами моделируются стержнями, что обеспечивает требуемую точность. Не менее важно, что использованием стержней в качестве вторичных источников достигается единообразие алгоритмов расчета заземлителей в неоднородных средах. Формулы производных ядра интегрального уравнения (2) для стержневых элементов получены в [4].

Рассмотрим тестовые задачи.

**Задача 1. Негоризонтальная граница раздела сред.**

Найдем сопротивление горизонтального стержня длиной 10 м при негоризонтальной границе земля—воздух с переменной высотой выступа  $h$  (рис. 3). При  $h=0$  имеем однородную модель земли, где сопротивление стержня  $R=12,9$  Ом. Тот же результат дает разработанный метод. В другой крайней точке  $h \rightarrow \infty$  стержень расположен внутри бесконечного угла, что дает аналитическое решение  $R=17,1$  Ом. При  $h=100$  м значение  $R=16,7$  Ом отличается на 2,5%. Таким образом, численное решение достоверно и получено с достаточно высокой точностью.

$R, \text{ Ом}$

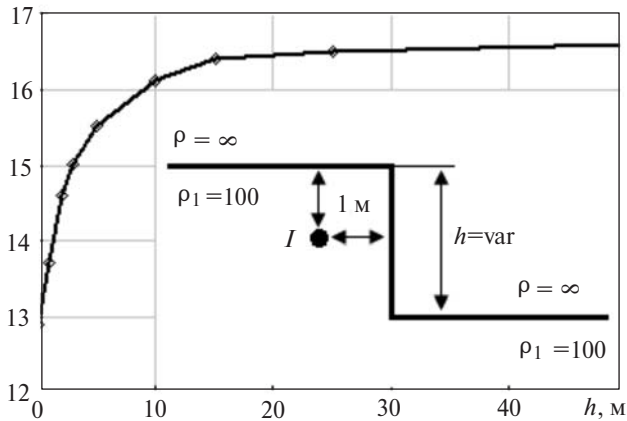


Рис. 3. Сопротивление горизонтального стержня длиной 10 м, диаметром 20 мм в однородном грунте с негоризонтальной границей

**Задача 2. Наклонная граница раздела сред.**

Найдем сопротивление горизонтального стержня, расположенного в двухслойной земле с наклонной границей раздела сред (рис. 4,а). Часть границы принята горизонтальной, где расчеты заземлителя с использованием двухслойной модели земли при  $\rho = 100/500$  Омжм считаем точными. Имеем:  $R=20,3$  Ом (точное значение 20,5 Ом) для  $h=2$  м;  $R=14,4$  Ом (точное значение 14,6 Ом) для  $h=5$  м, т.е. погрешность в крайних точках составляет 1%. При перемещении стержня в направлении координаты  $x$  изменяется толщина верхнего слоя, что приводит к почти пропорциональному изменению сопротивления стержня (рис. 4,б) и согласуется с качественными представлениями о процессе растекания тока. Таким образом, и в этой задаче чис-

ленное решение достоверно и получено с высокой точностью.

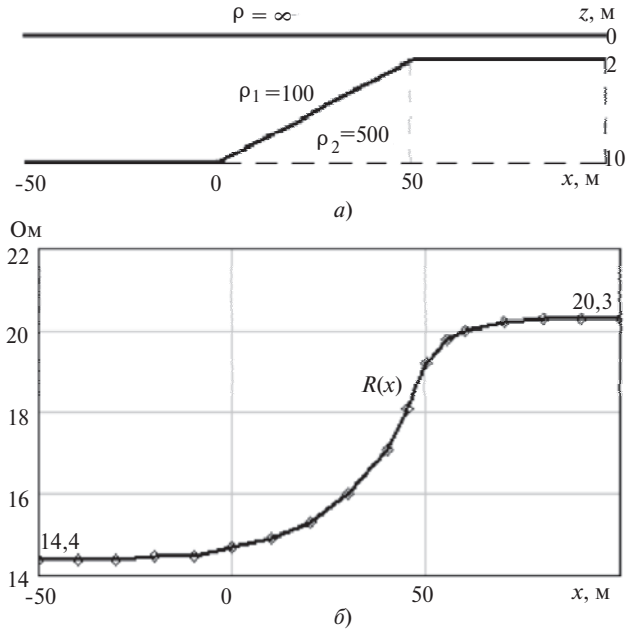


Рис. 4. Сопротивление горизонтального стержня длиной 10 м, диаметром 20 мм при глубине погружения 1 м в двухслойном грунте с негоризонтальной границей в функции положения по оси  $x$

**Задача 3. Горизонтальная неоднородность земли.**

При проектировании заземлителей возможна ситуация, когда эквивалентное удельное сопротивление земли неоднородно по одному или двум направлениям. Покажем возможность решения подобных задач с помощью разработанного метода. Примем двухслойную модель земли с переменным удельным сопротивлением нижнего слоя  $\rho_2$ , изменяющимся (в нашем примере) линейно от 200 до

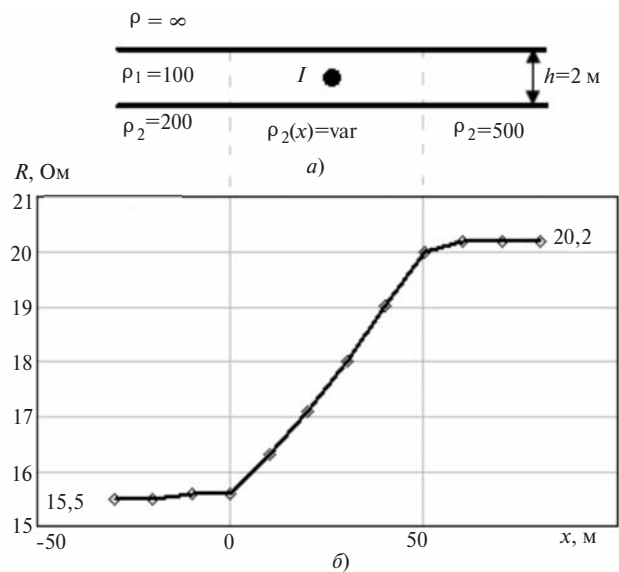


Рис. 5. Сопротивление горизонтального стержня длиной 10 м, диаметром 20 мм при глубине погружения 1 м в двухслойном грунте с линейным изменением удельного сопротивления второго слоя земли

500 Омж (рис. 5,а). Функция  $\gamma_2(x)$  или  $\gamma_2(x,y)$  ведет к переменному коэффициенту отражения  $k(x)$  в интегральном уравнении (2), но не меняет формулу (3), поэтому изменений алгоритма не требует. Расчеты показывают (рис. 5,б), что сопротивление горизонтального стержня в подобной земле практически повторяет функцию  $\gamma_2(x)$ . Погрешность расчета в крайних точках, определяемая в двухслойной земле, составляет 1%, т.е. решение достоверно. Заметим, что и двухслойная модель с наклонной границей, рассмотренная в предыдущей задаче, также применима для моделирования горизонтальной неоднородности эквивалентного удельного сопротивления земли.

**Задача 4. Заземлитель в многослойной горизонтально-слоистой земле.** Найдем сопротивление горизонтального стержня длиной 10 м, диаметром 20 мм при глубине погружения 1 м в многослойной земле и сопоставим с результатами по МОА. Примем мощность (толщину) каждого слоя равной 2 м, удельные сопротивления слоев:  $\gamma_1 = 100$  Омж,  $\gamma_2 = 300$  Омж,  $\gamma_3 = 500$  Омж и т.д. с шагом 200 Омж. Применение разработанного метода вновь дает достоверное решение с высокой точностью (см. таблицу).

Таблица

Число слоев	Результаты расчета сопротивления, Ом		Погрешность d, %
	$R_{МИУ}$	$R_{МОА}$	
2	17,5	17,6	1,0
3	19,3	19,5	1,0
4	20,4	20,7	1,5
5	21,1	21,5	2,0
6	21,6	22,1	2,5

**Совместное использование МИУ и МЗИ.** Как показали тестовые задачи, МИУ позволяет проводить расчеты в неоднородных средах с границами произвольной формы и произвольным законом изменения удельного сопротивления вдоль границ. Однако его применение в традиционных задачах с горизонтальными бесконечно протяженными границами более трудоемко по сравнению с МЗИ. Отсюда идея их совместного применения для расчета заземлителей в многослойной земле с горизонтальными и негоризонтальными границами. На негоризонтальных границах вводятся вторичные токи интегральным уравнением (1), которые далее отражаются от горизонтальных границ в МЗИ подобно первичным источникам. В результате рассмотренные ранее задачи 1–3 могут быть эффективно решены в двух и многослойной земле, а задача 4 может иметь локальные неоднородности.

**Вывод.** Многослойный грунт с горизонтальными бесконечно протяженными границами, дополненный границами произвольной формы – следующий шаг в повышении адекватности математической модели земли, отвечающий требованиям практики и подкрепленный возможностями современных компьютеров. Матрица сопротивлений элементов заземлителя  $\mathbf{R}$  в подобной земле представляет сумму матрицы сопротивления в однородной среде и матрицы вносимого сопротивления от границ раздела сред, которая рассчитывается методом зеркальных изображений для учета горизонтальных границ и методом интегральных уравнений по (3) — для границ произвольной формы. Найденная матрица  $\mathbf{R}$  используется для расчета сопротивления эквипотенциального заземлителя и входит в качестве одного из параметров в цепную модель неэквипотенциального заземлителя.

## СПИСОК ЛИТЕРАТУРЫ

- СТО 56947007-29.130.15.114—2012. Стандарт организации. Руководящие указания по проектированию заземляющих устройств подстанций напряжением 6–750 кВ. — Введ. 03.02.2012. — М.: МЭИ, 2012.
- Бургсдорф В.В., Якобс А.И. Заземляющие устройства электроустановок. — М.: Энергоатомиздат, 1987.
- Шишигин С.Л. Математические модели и методы расчета заземляющих устройств. — Электричество, 2010, № 1.
- Шишигин С.Л. Векторная форма записи потенциала стержневого заземлителя в однородной и двухслойной земле. — Электричество, 2007, № 7.
- Коструба С.И. Измерение электрических параметров земли и заземляющих устройств. — М.: Энергоатомиздат, 1983.
- Матвеев Б.К. Электроразведка. — М.: Недра, 1990.
- Takahashi T., Kawase T. Calculation of earth resistance for a deep-driven rod in a multi-layer earth structure. — IEEE Trans. Power Del., 1991, vol.6, No 2.
- Chow Y.L., Yang J.J., Srivastava K.D. Complex images of a ground electrode in layered soils. — J. Appl.Phys, 1992, 71 (2).
- Нестеров С.В. Применение интегральных уравнений для расчета заземлителя произвольной конфигурации в неоднородном грунте. — Сб. докл. Второй Российской конф. по заземляющим устройствам. — Новосибирск: Сибир. энергет. академия, 2005.
- Тозони О.В. Метод вторичных источников в электротехнике. — М.: Энергия, 1975.
- Колечицкий Е.С. Расчет электрических полей устройств высокого напряжения. — М.: Энергоатомиздат, 1983.

[03.09.12]

Автор: **Шишигин Сергей Леонидович** в 1982 г. закончил электроэнергетический факультет Вологодского политехнического института. В 2010 г. в СПбГПУ защитил докторскую диссертацию «Разработка методов анализа и синтеза электромагнитных полей электротехнических устройств с сильными токами». Заведующий кафедрой электротехники Вологодского государственного технического университета.